# Síntese de nanopartículas de platina acompanhada por XANES in situ.

Débora M. Meira<sup>1</sup> (PG), Renata U. Ribeiro<sup>1</sup> (PQ), Daniela Coelho<sup>2</sup> (PQ), José M.C. Bueno<sup>1</sup> (PQ),

Daniela Zanchet<sup>3</sup> (PQ) \*

- 1 Universidade Federal de São Carlos (UFSCar) São Carlos / SP
- 2 Laboratório Nacional de Luz Síncrotron (LNLS) Campinas / SP
- 3 Universidade Estadual de Campinas (UNICAMP) Campinas / SP, \*daniela @igm.unicamp.br

Palavras Chave: XAS, nanopartículas de platina, in situ.

#### Introdução

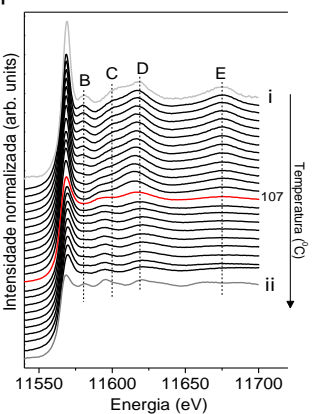
A espectroscopia de absorção de raios X (XAS) é uma ferramenta poderosa para a investigação de materiais. Essa técnica é sensível ao elemento químico e permite estudar a estrutura eletrônica, ambiente local, desordem, natureza e distância dos átomos vizinhos. Estudos *in situ*, com resolução temporal também são possíveis, tendo um grande impacto na compreensão da síntese e desempenho dos materiais em condições operacionais<sup>1</sup>.

A Pt é um metais que desempenha um importante papel em diversas aplicações industriais, na forma de nanopartículas (NPs). Esse trabalho tem como objetivo estudar o processo de formação de NPs de Pt em meio líquido, quanto à evolução da natureza eletrônica e estrutural. Para isso estudos *in situ* por espectroscopia de absorção de raios X na região próxima a borda (XANES) foram realizados.

## Resultados e Discussão

A síntese coloidal foi realizada utilizando-se H<sub>2</sub>PtCl<sub>6</sub> e etilenoglicol em meio básico<sup>2</sup>. A síntese foi acompanhada in situ por XANES utilizando um reator construído para esse fim onde é possível variar o caminho óptico em função da concentração da amostra. O reator é acoplado a um condensador, a uma placa magnética de agitação e a um bloco de aquecimento o qual permitiu o aquecimento da amostra a 180  $^{\circ}$ C com taxa de aquecimento de 5 <sup>u</sup>C/min. O reator possui janelas de kapton de 4 mm que permitem a passagem do feixe de raios X. Experimentos com resolução temporal da ordem de segundos foram realizados na linha DXAS do LNLS. Na Figura 1 observamos a evolução dos espectros de XANES em função da temperatura durante a redução do H<sub>2</sub>PtCl<sub>6</sub> em comparação com os Pt<sup>0</sup> espectros dos padrões de e H<sub>2</sub>PtCl<sub>6</sub>. Inicialmente, o espectro da amostra corresponde ao do padrão de H<sub>2</sub>PtCl<sub>6</sub>. Com o aumento da temperatura observamos a redução da intensidade da linha branca sendo que em 107 ºC a amostra já se assemelha ao padrão de Pt<sup>0</sup>. As energias características dos espectros após a linha branca assinaladas de B-E estão relacionadas espalhamentos múltiplos e se devem a uma 35ª Reunião Anual da Sociedade Brasileira de Química

hibridização dos orbitais 5d da Pt com estados 3d desocupados do Cl<sup>3,4</sup>. Simulações mostram que substituindo o íon [PtCl<sub>6</sub>]<sup>2-</sup> pelo complexo [PtCl<sub>4</sub>(OH)<sub>2</sub>]<sup>2-</sup>, D desloca para menor energia e E para maior energia. C está relacionada com ligantes Cl ou OH e B a orbitais 3d desocupados do Cl. Observando o deslocamento dessas características podemos inferir a substituição de íons Cl por íons OH levando a Pt de um estado Pt<sup>4+</sup> a Pt<sup>0</sup> passando possivelmente por Pt<sup>2+</sup>. A obtenção de NPs de 2 nm, com baixa dispersão de tamanhos foi confirmada por microscopia eletrônica de transmissão.



**Figura 1.** Espectros de XANES in situ. (i) e (ii) correspondem aos padrões  $H_2PtCl_6$  e  $Pt^0$ , respectivamente.

### Conclusões

Um reator para medidas de XANES *in situ* foi desenvolvido e testado com sucesso no estudo da formação de NPs de Pt. A redução da Pt<sup>4+</sup> a Pt<sup>0</sup> passando por um estado Pt<sup>2+</sup> possivelmente está relacionada à concomitante redução e proteção provocada pelo etilenoglicol o que leva à formação NPs monodispersas com pequeno diâmetro.

#### Agradecimentos

Ao LNLS pela infraestrutura. Apoio financeiro FAPESP (2010/52291-0), CNPq (482865/2009-1), CNPq-bolsas e PAPDIC-FAEPEX-UNICAMP.

<sup>&</sup>lt;sup>1</sup> Newton, M.A., et al. Catal. Today, **2007**, 126, 64.

<sup>&</sup>lt;sup>2</sup> Rioux, R.M. et al., J.P.Chem. B, **2005**,109, 2192.

<sup>&</sup>lt;sup>3</sup> Chen, X.; Chu, W.; Wang, L.; Wu, Z., J. Molec. Struct. **2009**, 920, 40.

<sup>&</sup>lt;sup>4</sup> Tsai, Y. W., et al. J. Phys. Chem. B **2004**, 108, 8148.